

大阪大学工学部 正員 村岡 浩爾
 大阪大学工学部 正員 ○中江 隆二
 大阪大学工学部 学生員 広畠 彰一

1. まえがき：沿岸海域における工業廃水の分散過程、特に放出口近傍においては、移流効果により分散し自由表面を有した水平噴流としての解析が従来から用いられる。しかしながら、下層および界面からの連続投入現象により拡がるにつれ、その移流速度は減衰し海域における乱れが平均量と同程度の大きさとなる。このような領域では乱流拡散と移流効果とがあわせて作用し、速度あるいは濃度分布形状の相似性を仮定して従来の平均量的論議では分散過程を的確にとらえられず、境界面からの流入量を含む変動量特性が工学的に重要な意味を持つと考えられる。本研究では、速度・濃度の乱れ成分を同時観測して水質輸送量の観察から水質混合の機構を解明することを最終目的とし、その第一段階として廃水貯水槽に淡水を放流した場合の濃度変動量の測定に着目して若干の実験を行なったので、そんに結果を報告する。

2. 実験装置と実験諸元：実験は $14'' \times 6'' \times 0.7''$ の平面水槽に $3'' \times 0.6'' \times 0.2''$ の放流水路を接続して拡散水槽を使用した。平面水槽に所定濃度の塩水を水深 50 cm に貯留し、貯水水槽からポンプアッパーにて海水を放流水路模型から放出する。この時、放流水路幅 5 cm 、高さ 3.85 cm となるように水位を調整した。濃度は白金黒の極板を有する電導度計を行い、放流中心軸に沿って 8 箇所の鉛直分布を求め、スペクトル解析は Blackman-Tukey の方法に基いて行なった。実験条件下平面水槽濃度 C_w ($1.2.7 \sim 1.33\%$) の 7 種類、放流量 ($4.06 \sim 90.2\text{ cc/sec}$) の 3 種類を用いた。すなれば、内部フルード数およびレノルズ数はそれぞれ $1.70 \sim 10.64$ 、 $5.28 \sim 10.48 \times 10^3$ の範囲の合計 21 ケースである。

3. 実験結果とひきあわせ：(1) 平均濃度 C_m から濃度変動量 ΔC ；図-1 は放流中心軸に沿って水表面下 1 cm の平均濃度への減特性を二次元表示したものである。 $x/B_o \geq 40$ の領域においては実験値に若干のバラツキはみられないが、既往の実験結果とかなりよく一致している。図中の破線は Albertson の動力学的相似仮定に基づく運動量保存の流速依存曲線である。濃度に関しては明確な potential core の存在は認め難く、ついで減率は流速降低に比較して緩慢である。これにて連続投入後の速度と濃度特性との差異を示唆するものであるが、内部フルード数による影響は認められない。つまり、水表面下 1 cm の平均濃度 $(C_m - C_w)$ からの最大変動量 ΔC_{max} の放流軸方向の変化を示したのが図-2 である。ピークは $x/B_o = 8.20$ でみられ、 $x/B_o \geq 40$ 以遠で変動量は一様に減衰する。このオーバーピークは流速変動量のピークと一致する。すなれば、 $x/B_o = 8$ 付近が確定される領域への遷移領域 ($4.76 \leq x/B_o \leq 9.3$) の終端にあたり、初期速度の乱れが下層水の連続投入によって乱れに原因する変動量の急増であり、内部フルード数の影響は殆んどない。これに対して、オーバーピーク $x/B_o = 20$

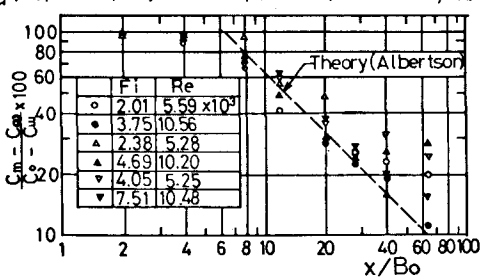


図-1 放流軸の平均濃度変化

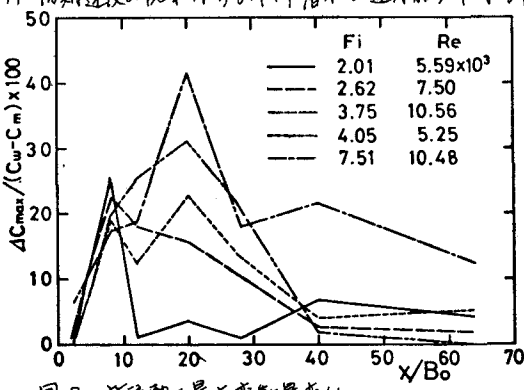


図-2 放流軸の最大変動量変化

においては内部フルード数の影響が顕著であり、 F_i が小さい場合(すなわち、連続加入量が少ない場合)には濃度変動量はオーバーのピーク値よりも小さく流速変動量と相似な形で一様に減衰する傾向にあるが、 F_i の増加とともに変動量 ΔC_{max} は増大しピーク値をとる。例えば、 $F_i = 7.51$ の場合に下での変動量 ΔC_{max} (14.0%程度)に達し、理論解析における動力学的相似の仮説は実証され(FI)。したがって、乱れ強さ(C''_m)は ΔC_{max} の約1/3でありその状態(全測定区間を通じて)で $F_i = 7.51$ 。

(b) 濃度変動成分の自己相関関数及びスペクトル：
放流輪各測定の濃度変動量特性を比較するために自己相関関数を求めたのが図3であり、 $F_i = 4.05$ の各流程での変化を水深をパラメーターに示した。 $x/B_o = 4, 8, 16, 20, 40$ の流程において、それぞれ(1)は類似の相関を示す性質が認められる。遷移領域内では連続加入量により相関(1)急激に減衰し0.5~1sec間で相関(1)となり、その後(1)はsec程度の周期性がみられるが、 x/B_o の増大とともに相関が0となる時間で増大する。このこと(1)は x/B_o の増大とともに比較的大規模な濃度変動スケールが存在することを意味するものであり、水槽としての水質の「ゆらぎ」現象が推察される。また $x/B_o \geq 30$ の流れの確立領域では鉛直方向共に相似性を保持して減衰していく。つづいて、図3に示すスペクトル解析結果を図4に示した。あわせて $F_i = 2.01$ の場合も比較してある。 $x/B_o = 4$ ($x = 20cm$) の場合内にあり変動要因(初期流速乱れ)に負うところが多く全エネルギー($F_i = 8$ ($x = 40cm$) の場合)と比較して小さいが、自己相関に観測された卓越周波数が0.7 c/sから1.43 c/sへ低周波側へ移行しているのがわかる。また、 x/B_o が増大するにつれ高周波側でのスペクトルの減衰(急激)であり、-3次則に近い減衰を示しており、その形状は相似であるといえる。鉛直方向の分布形(1)流程の増大とともに一致する傾向にある。詳細は講演時に発表したい。

4. あとがき： 不安定要素の励起とともに伴う混合現象としての密度差を有して水平噴流ノズルを持った濃度変動量に着目して実験を行ったが、速度変動と濃度変動との相関は図2に示したように内部フルード数の影響が顕著であり変動スケールの規模が異なることは注目すべきである。同時に観測による乱れ特性の相関性の論議が重要であり継続して研究中である。なお、本研究遂行にあたり適切な助言を賜わった平野宣田明、種不亭両教授に謝意を表したい。

[参考文献]

Tamai-Wiegel & Tornberg; P02, ASCE, Oct., '69

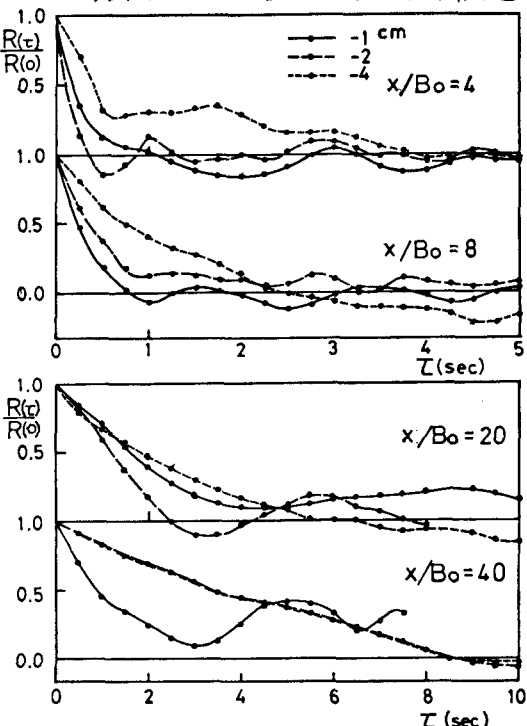


図3 自己相関関数 ($F_i = 4.05$ の場合)

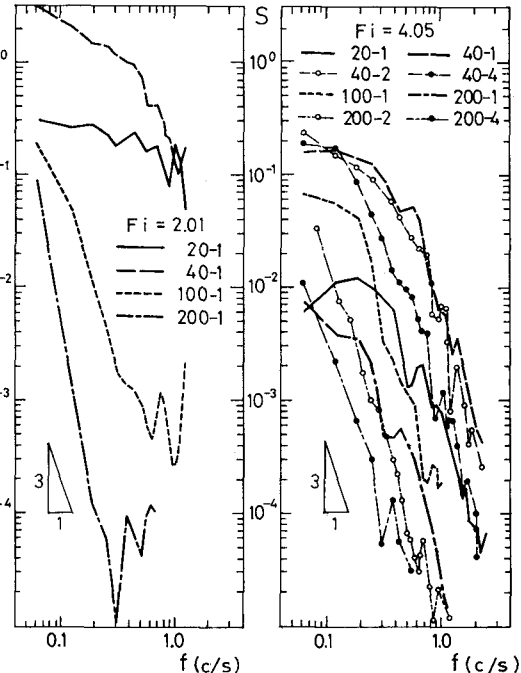


図4 濃度変動スペクトル